

## 不飽和粘土の有効応力について

信州大学工学部 正員 川上 浩  
 メンバー 峰村 信雄

**1. 概要** 不飽和土の変形、強度特性を支配する有効応力を確立することが目的だが、これについてはすでに Bishopにより  $\sigma' = \sigma - u_a + \chi(u_a - u_w)$  (1) なる式が提案されている。しかしこれについても、 $\chi$  の決定方法がむずかしいのと  $u_a, u_w$  の測定が非常に困難なため、十分に論議されたとはいえない。我々は不飽和土も飽和土の特殊な延長として考えて強度特性、ダイラタンシーを調べているが、それには限界があることがわかつたので前式の  $\chi$  の決定の問題をセン断時の間ケキ比と関連して考えるために  $u_a, u_w$  の測定を行なっている。比較のため飽和化した試験より行なっている。

**2. 飽和供試体試験**

表-1に示すような開白カオリンについて飽和土供試体の試験を次の三種類の方法によつて行ない比較した。

表-1

開白カオリン					
Gs	L.L.	P.L.	砂分	シルト分	粘土分
2.610	33.2%	26.1%	55%	15%	30%

第I系列 突固めによる不飽和土供試体をSet後パーコレーション、圧密の後非排水試験。

第II系列 パーコレーション、圧密の後バックフロッシャーをかけ非排水試験。

第III系列 L.L.状態より等方圧密させた試料を切り出して供試体作成、バックフロッシャーをかけ非排水試験。

これらのベクトルカーブを第1図に示す。

$\sigma' \text{ kg/cm}^2$

これによると第II系列が一番よく間ケキ水圧が発生しており、完全飽和に近いことがうかがわれる。

**3. 飽和土と不飽和土との比較**

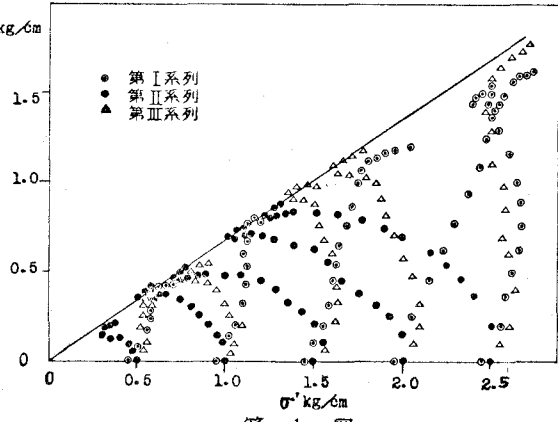
不飽和土において  $u_a = u_w$  と仮定し、通常の間隙水圧測定装置で得た値により整理した結果<sup>2)</sup>と上記第II系列の結果を比較すると表-2の通りとなる。

飽和度が低くなるにつれて毛管吸引力の作用が影響してくるため間隙水圧は少なくなり  $C'$  項が増大、 $\phi'$  項が減少している。このためやはり間ケキ水圧のみで有効応力を求めるることは無理であり、 $u_a$  も考慮に入れなければならないことがわかる。

**4. 不飽和土の $\chi$** 

式(1)における $\chi$  の決定方法には

(i) 不飽和土の有効応力の破壊包絡線と、飽和土の破壊包絡線とは一致すると仮定して $\chi$  を求める方法<sup>3)</sup>。



第1図

	含水比 $w(\%)$	乾燥密度 $\gamma_d(\text{kg}/\text{m}^3)$	間ケキ比 $e$	有効応力による		
				飽和度 $S_r(\%)$	$C'(\text{kg}/\text{cm}^2)$	
不飽和	J	20.0	1.51	0.73	72	0.43 29°00'
飽和	K	22.0	1.52	0.72	80	0.24 30°20'
	L	23.2	1.52	0.72	84	0.20 30°50'
	F	22.9	1.55	0.68	88	0.19 32°20'
飽和(I)		23.6	1.55	0.68	91	0 34°15'

表-2

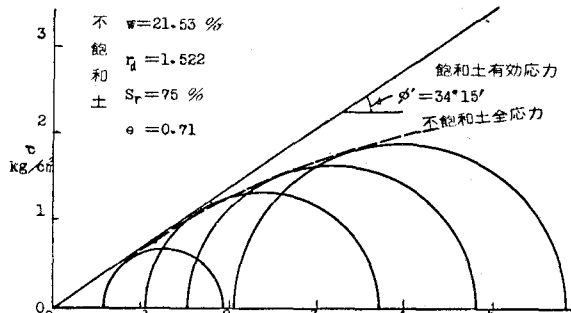
(ii) 不飽和土の破壊の近傍の2点においてでがほぼ等しいものとして、測定された( $\sigma - u_a$ )、  
( $u_a - u_w$ )の値から $\chi$ を求める方法。<sup>4)</sup>

(iii) 圧密段階において飽和土と不飽和土を同一の間ゲキ比に落付かせるに必要な有効応力は等しい  
とおいて $\chi$ を求める方法。<sup>5)</sup>などがある。

圧密過程、圧縮過程を通じて間隙水圧と間隙空気圧、および容積変化を測定することができれば上の方  
法の(iii)の考え方を拡張して圧密、圧縮中の $\chi$ の変化を知ることができ、さらに(i)の方法により破壊時の $\chi$ と  
検照することができるものと考える。かかる観点から以下の不飽和土の試験を行なつている。

実験は Bishop の用いた装置と大略同じものを用いているが  $u_a$  の測定には小型圧力計(共和PS-2)を用  
いている。陶製円板は air entry value が  $2.0 \text{ kg/cm}^2$ 、透水係数  $k = 4 \times 10^{-7} \text{ cm/sec}$  である。ガラス織  
維布(日東紡 CC-110)の間ゲキ内部およびそこから受圧面までの空気容積は  $0.88 \text{ cc}$  である。載荷速度  
は  $0.0025\%/\text{min.}$  で行なつている。

実験結果の Mohr 円を第2図、(i)の方法で求めた $\chi$ を表-3に示す。表-3をみると側圧が大きくなる  
にしたがつて $\chi$ は減少しており、 $\chi$ の値が飽和に近づくにしたがつて増大して1に近づくという本来の傾向  
に反している。この原因は  $u_w$  の測定値が過小なためと考えられ陶製円板などについて目下再検討を  
加えている。



第2図

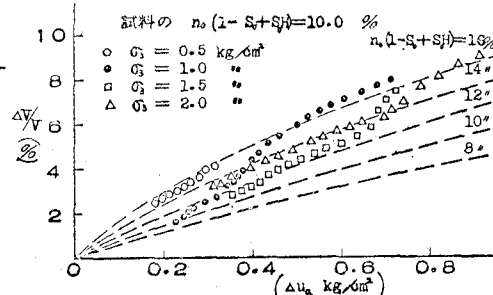
またオラ図に  $\Delta u_a$  と  $u_a$  の関係を示したが一部の  
データを除いて破壊の近くまでは理論曲線<sup>7)</sup>に一致  
しており  $u_a$  の測定値は信頼してよいものと考えられる。  
間ゲキ比と有効応力の関係については講演会で述べ  
たい。

#### 参考文献

- 1) A.W.Bishop "The measurement of pore pressure in the triaxial test" Pore pressure and suction in soils (1960) [P.38]
- 2) 川上浩、峰村信雄"不飽和粘土の力学的性質" 第2回土質工学研究発表会
- 3) A.W.Bishop & G.E.Bright "Some aspects of effective stress in saturated and partly saturated soils" Geotechnique [vol. 13 (1963) P.177~P.197]
- 4) G.E.Bright "Effective stress evaluation for unsaturated soils" Journal of Soil Mech. and Found. Div. ASCE March, 1967, P.126~130.
- 5) 柴田徹、安田隆彦"不飽和土の圧縮とセン断性について" 第19回土木学会年次学術講演会
- 6) A.W.Bishop & D.J.Henkel "The measurement of soil properties in the triaxial test" (1962) P.189 [strength of cohesive soils ASCE (1960)]
- 7) J.Lowe & T.C.Johnson "Use of back pressure to increase degree of saturation of triaxial test specimens" P.819~836.

$\sigma_3$	$p_f$	$\Delta u_{af}$	$\Delta u_{arf}$	$\chi$
0.57	1.35	0.49	-0.14	0.67
1.07	2.63	0.74	-0.02	0.74
1.57	3.10	0.80	-0.02	0.42
2.07	3.71	0.97	-0.04	0.24

表-3



第3図